УЛК 541.182.213+621.928.95

# ОСАЖДЕНИЕ АЭРОЗОЛЬНЫХ НАНОЧАСТИЦ В СЕТОЧНЫХ ДИФФУЗИОННЫХ БАТАРЕЯХ

© 2020 г. В. А. Кирш<sup>1, 2, \*</sup>, А. А. Кирш<sup>2</sup>

<sup>1</sup>Институт физической химии и электрохимии им. А.Н. Фрумкина РАН Ленинский просп., 31, Москва, 119071 Россия

<sup>2</sup>Национальный исследовательский центр "Курчатовский институт" пл. Академика Курчатова, 1, Москва, 123182 Россия

\*e-mail: va\_kirsch@mail.ru

Поступила в редакцию 20.12.2019 г. После доработки 29.01.2020 г. Принята к публикации 07.02.2020 г.

Рассмотрено осаждение аэрозольных наночастиц в диффузионных батареях, состоящих из модельных сеток, ориентированных перпендикулярно стоксову потоку. Рассчитаны коэффициенты захвата частиц в зависимости от параметров сеток и диффузионного числа Пекле. Показано, что проскок наночастиц через плотные сетки при больших числах Пекле не зависит от расстояния между сетками и совпадает с проскоком, рассчитанным по эмпирической формуле, используемой для сеточных диффузионных батарей.

### **DOI:** 10.31857/S0023291220040059

### 1. ВВЕДЕНИЕ

Для экспресс-анализа размера взвешенных в газе наночастиц используется поточный диффузионный метод, основанный на измерении коэффициента проскока частиц  $P=n/n_0$  через набор сеток, называемых диффузионными батареями (ДБ). Здесь n — концентрация частиц на выходе,  $n_0$  — на входе. По величине проскока  $n/n_0$  определяют коэффициент диффузии частиц D, который связан с радиусом сферических частиц  $r_p$  формулой Эйнштейна—Милликена—Каннингема [1]

$$D = k_{\rm B}T \left( 1 + A \, \lambda / r_{\rm p} + B e^{-br_{\rm p}/\lambda} \, \lambda / r_{\rm p} \right) / 6\pi \mu r_{\rm p} \,, \tag{1}$$

где  $k_{\rm B}$  — постоянная Больцмана, T — абсолютная температура, A = 1.246, B = 0.42, b = 0.87,  $\lambda$  — средняя длина свободного пробега газовых молекул,  $\mu$  — вязкость газа.

Интерес к диффузионному методу возрос после того, как было показано [2], что при логнормальном распределении размеров частиц зависимости проскока частиц с разной степенью полидисперсности и с одинаковым средним геометрическим размером от параметра, включающего скорость течения аэрозоля и размеры ДБ, пересекаются в узком интервале значений,  $n/n_0 = 0.36-0.37$ , причем величина проскока, соответствующая этой точке, очень слабо зависит от среднего размера частиц. В [2] это было показано на примере щелевых ДБ (для плоско-

параллельного канала). Впоследствии результат работы [2] был подтвержден численным методом для ДБ, состоящих из слоев цилиндрических волокон, расположенных перпендикулярно потоку [3—5]. Использование в качестве ДБ слоя волокон оказалось возможным благодаря экспериментальному подтверждению [6] полученной ранее аналитической связи коэффициента диффузии с безразмерным коэффициентом проскока P монодисперсных наночастиц при заданной входной скорости потока U перед слоем параллельных волокон

$$P = \exp(-2alH\eta),\tag{2}$$

где a — радиус волокна,  $l = \alpha/\pi a^2$  — длина волокон в единице объема фильтра,  $\alpha$  — плотность упаковки волокон, H — толщина слоя волокон,  $\eta$  — коэффициент захвата — доля частиц, осаждающихся на волокне из набегающего потока, в данном случае равный [7,8]

$$\eta_0 = 2.892k^{-1/3}Pe^{-2/3} = 1.244F^{1/3}Pe^{-2/3},$$
 (3)

где Pe = 2aU/D — диффузионное число Пекле,  $k = 4\pi/F$  — гидродинамический фактор, F — безразмерная сила сопротивления единицы длины волокна. (При выводе формулы (3) множитель перед k в общем виде выражается через гамма-функции следующим образом:  $3^{11/6}\Gamma(2/3)(\Gamma(3/4)/\pi)^{4/3} \approx 2.892$ .) Эффективности осаждения наночастиц на волокно в гексагональной модели и в отдельном изоли-

рованном ряду параллельных волокон оказались почти равными, при этом близкими оказались и силы сопротивления, для которых значения k равны соответственно для гексагональной структуры [9]

$$k = -0.5 \ln \alpha + \alpha - 0.25\alpha^2 + 0.75 \tag{4}$$

и для отдельного ряда волокон [10]

$$k = \left(\frac{1}{2} - \ln 2t + \frac{1}{3}t^2 - \frac{1}{18}t^4 + \frac{4}{135}t^6 - \frac{53}{2700}t^8 + \ldots\right), (5)$$

где  $t = \pi b/2$ , b = a/h.

В обзоре [11] указывалось на перспективность использования в качестве ДБ упорядоченной волокнистой структуры, но на практике широкое распространение получили ДБ из непараллельных волокон. В [12] в качестве ДБ был предложен слой волокон, который состоял из близко расположенных рядов параллельных волокон, повернутых друг относительно друга на произвольный угол (веерная модель). В недавней работе [5] авторы уточнили метод определения полидисперсности измеряемых частиц с помощью веерной модели.

Проскок наночастиц через "веерную" ДБ описывается формулой (2), но с другим коэффициентом захвата, не зависящим от  $\alpha$ ,

$$\eta^{\rm f} = 2.7 \text{Pe}^{-2/3}.$$
(6)

Эта эмпирическая формула была получена для высокопористого модельного фильтра с α < 0.07 при условии, что скорость потока равна отношению расхода к площади фильтра, т.е. при входной скорости невозмущенного течения U [6]. Осаждение наночастиц не изменялось при сближении рядов волокон с большим шагом 2h, т.е. при  $b \ll 1$ , несмотря на их взаимное гидродинамическое влияние, приводящее к росту перепада давления в модели (перепад давления слабо возрастал, а проскок не изменялся). Однако для плотных веерных моделей с малым шагом в ряду при b > 0.2 (с большими значениями  $\alpha$ ), эксперименты не проводились, и эффективность осаждения частиц не могла быть найдена аналитически, поскольку течение в веерной модели является трехмерным. Отметим, что постоянство эффективности осаждения наночастиц при уплотнении фильтров наблюдалось и для реальных волокнистых фильтров с малой плотностью упаковки [6]. Полученные результаты для веерной модели использовались в теории тонкой фильтрации для расчета эффективности высокопористых реальных фильтров [13].

Наиболее широкое распространение веерная модель получила после того, как Ченг и Йех предложили в качестве ДБ применять плотные сетки [14]. Свои результаты авторы аппроксимировали следующей формулой:

$$n/n_0 = \exp\left[-2alH \,\eta^{\rm f}/(1-\alpha)\right],\tag{7}$$

при этом в число Ре также подставлялась скорость невозмущенного течения перед фильтром U. Позднее эта формула была подтверждена в экспериментальных работах [15—17]. Таким образом, в случае плотных сеток коэффициент захвата описывается эмпирической формулой

$$\eta_{\rm s} = 2.7 {\rm Pe}^{-2/3} / (1 - \alpha).$$
 (8)

В плетеных сетках параллельные волокна расположены довольно плотно. Отношение диаметра волокна к расстоянию между осями соседних параллельных волокон составляет примерно b == 0.3-0.4. и в столь плотных системах волокон плотность упаковки должна заметно влиять на осаждение частиц. Ранее гидродинамическое сопротивление и диффузионное осаждение частиц в отдельных сетках рассматривалось в [18, 20], причем особое внимание уделялось случаю осаждения частиц при Ре < 1, для которого в [19] была развита теория. Были рассмотрены сетки типа pressure welded screen (DIN 4192, ISO 4783/3) [21], представляющие собой пары сдвоенных под прямым углом рядов параллельных волокон. В [22] было показано, что рассчитанное гидродинамическое сопротивление этих сеток почти не отличается от измеренных значений сопротивления плетеных сеток.

В случае высокопористых волокнистых фильтров учет плотности упаковки имеет второстепенное значение, но для плотных сеточных ДБ он оказывается существенным. В данном сообщении мы численно исследуем диффузионное осаждение наночастиц из трехмерного стоксова потока в ДБ, состоящей из сеток с разной плотностью упаковки, проверим постоянство коэффициента захвата при сближении сеток и то, насколько обоснованно используется веерная модель в диффузионном методе.

## 2. МЕТОД РАСЧЕТА

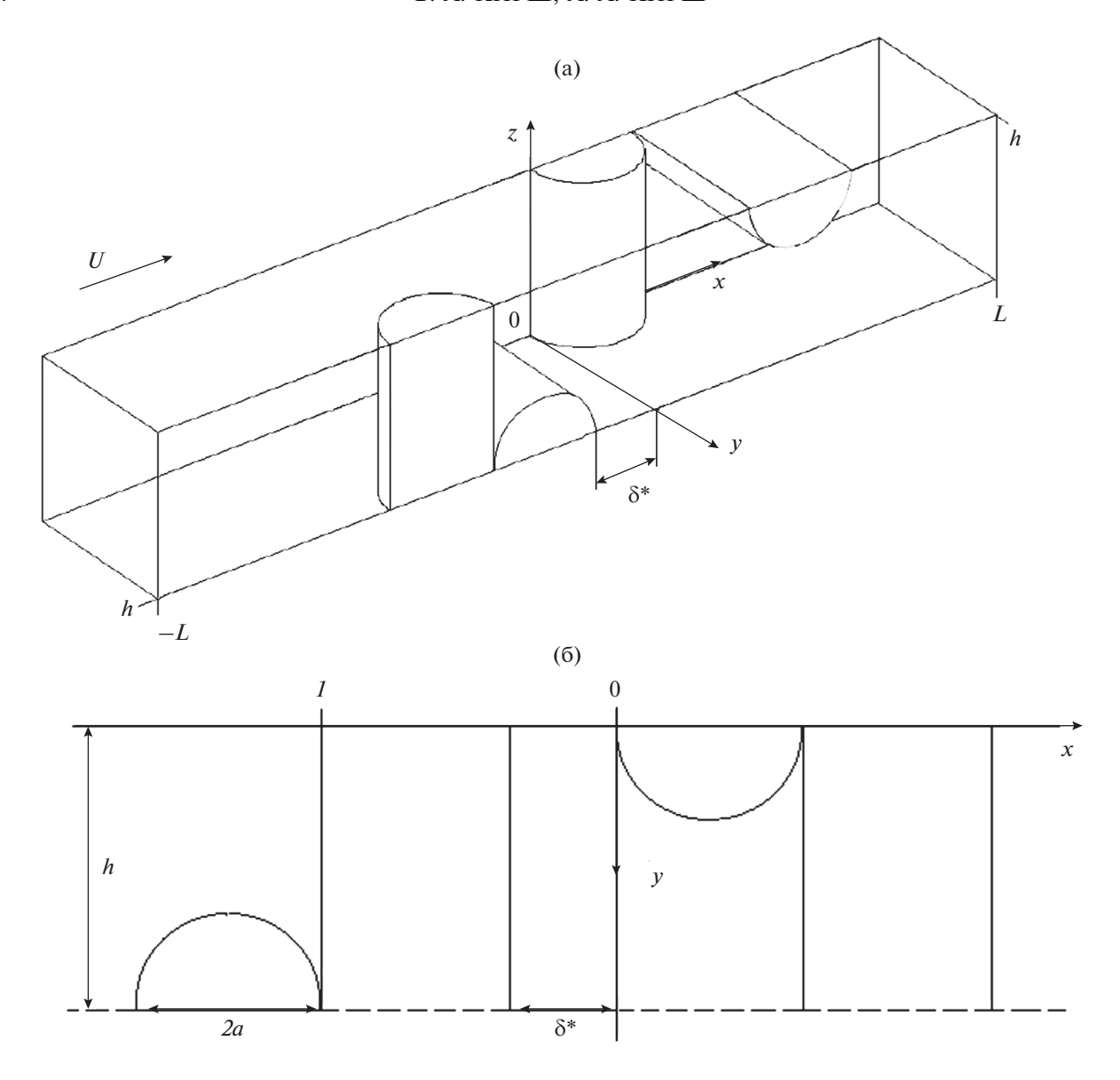
Поля скоростей и концентрации находились из численного решения стационарных уравнений Стокса [23]

$$\nabla p = \Delta \mathbf{u}, \quad \nabla \cdot \mathbf{u} = 0, \tag{9}$$

и конвективной диффузии [24]

$$2\mathrm{Pe}^{-1}\Delta n - \mathbf{u} \cdot \nabla n = 0. \tag{10}$$

описывающих соответственно течение вязкой несжимаемой жидкости при малых числах Рейнольдса  $\text{Re} = 2aU/v \ll 1$ , где v — кинематическая вязкость газа, и перенос взвешенных броуновских частиц в конвективном потоке. Расчетная ячейка показана на рис. 1. В уравнениях (9) и (10)  $\mathbf{u}$  — вектор скорости потока, p — давление. Здесь



**Рис. 1.** Расчетная ячейка длины 2L в задаче об обтекании пакета модельных сеток поперечным потоком: (а) изометрия, (б) поперечное xy—сечение ячейки в плоскости z=0.  $\delta^*-$  зазор между сетками, h- высота ячейки — половина расстояния между осями соседних волокон в рядах параллельных волокон, образующих сетки. Стрелкой указано направление потока.

все переменные приведены к безразмерному виду с использованием характерных масштабов длины и скорости — радиуса волокна a и скорости набегающего потока U. В качестве граничных условий на поверхности волокон ставились условия прилипания  $\mathbf{u}=0$  и поглощения частиц n=0. На входной границе при x=-L ставились условия невозмущенной скорости  $\mathbf{u}=1$  и однородной концентрации n=1, при x=L — условия отсутствия вязких напряжений, нулевого давления p=0 и выравнивания концентрации. На боковых, верхней и нижней гранях ячейки ставились условия симметрии для компонент скорости и концентрации.

Метод численного решения задачи изложен в [18]. Безразмерная сила сопротивления единицы длины волокна была найдена интегрированием по поверхности цилиндра проекции локального потока импульса на направление потока жидкости

$$F = \int_{S} T_{x} dS,\tag{11}$$

где поток импульса равен  $\mathbf{T} = (-p\mathbf{I} + \sigma')\mathbf{n}$  [23],  $\sigma'$  — тензор вязких напряжений,  $\mathbf{I}$  — единичный тензор,  $\mathbf{n}$  — вектор внешней нормали к поверхности, dS — элемент поверхности.

Рассчитав поле концентрации, находим коэффициент проскока частиц через модельную сетку, который для любых значений Ре и *b* связан с коэффициентами захвата частиц волокнами, образующими модельную сетку, следующим соотношением:

$$P_{i} = 1 - b \sum_{j=1}^{i} \eta_{j}, \tag{12}$$

где i — число рядов волокон,  $\eta_j$  — коэффициент захвата частиц волокном (j — номер ряда), рассчитываемый по формуле

$$\eta_j = \frac{2a}{h \operatorname{Pe}} \int_{S} (\partial n/\partial N) dS. \tag{13}$$

Здесь коэффициент захвата волокна определен как отношение интегрального нормального диффузионного потока на волокно к диффузионному потоку на входе в расчетную ячейку на площади проекции волокна.

Как показывают расчеты, при больших Ре коэффициент захвата для всех сеток в ДБ практически одинаков, и проскок частиц через батарею из большого числа сеток в этом случае равен  $P = \exp\left(-2alH\,\overline{\eta}\right)$ . Учитывая, что плотность упаковки модельной сетки равна  $\alpha = \pi a/4h$ , получим  $l = \alpha/\pi a^2 = 1/4h\,a$ . Толщина слоя из сомкнутых N рядов волокон равна H = N2a, и, следовательно, 2alH = Na/h, т.е.  $P = \exp\left(-bN\,\overline{\eta}\right)$ , откуда средний коэффициент захвата наночастиц волокном в ДБ равен

$$\overline{\eta} = \frac{-\ln P}{hN}.\tag{14}$$

Средний коэффициент захвата волокном в слое из N рядов волокон может быть также найден с учетом (12), если рассчитана безразмерная концентрация за ним, усредненная по площади поперечного сечения расчетной ячейки,

$$\overline{\eta} = \frac{-\ln\left(1 - b\sum_{j=1}^{i} \eta_{j}\right)}{bN}.$$
 (15)

Для одной сетки, состоящей из двух рядов волокон, средний коэффициент захвата равен

$$\overline{\eta}_s = \frac{-\ln[1 - b(\eta_1 + \eta_2)]}{2b}.$$
 (16)

Вычисленные по (16) и (14) значения коэффициентов захвата одиночных сеток и пакетов из восьми сеток с разными b сравним далее с рассчитанными по формулам (3) и (8).

### 3. РЕЗУЛЬТАТЫ РАСЧЕТОВ И ВЫВОДЫ

Осаждение частиц в отдельном ряду волокон

Прежде, чем приступить к рассмотрению осаждения в системах волокон с трехмерным течением, было проверено, до каких значений b применима формула (3) для диффузионного коэффициента захвата точечных частиц в отдельном ряду параллельных волокон. Эта формула была получена при  $b \ll 1$  в приближении тонкого граничного диффузионного слоя на волокне на основе решения параболического уравнения конвективной диффузии (без учета члена, учитывающего т.н. продольную диффузию) [7]. Входящая в (3) безразмерная сила сопротивления потоку волокна в ряду параллельных волокон (11) была найдена с помощью численного решения задачи о стоксовом поле течения в ряду волокон при Re ≪ 1. Были определены границы применимости известных формул для сил сопротивления волокон в разреженном и плотном рядах, а для промежуточного интервала  $0.5 \le b \le 0.7$  получена следующая аппроксимационная формула:

 $F_2 = [1 - A \exp(-B\xi)]F_1 + [1 - C \exp(-E/\xi)]F_3$ , (17) где  $\xi = h/a - 1$ , A = 1.3884, B = 1.0083, C = 1.4, E = 0.9748,  $F_1$  — сила сопротивления волокна в разреженном ряду волокон, выведенная аналитически Мияги [6],  $F_3$  — сила сопротивления волокна в плотном ряду [25],

$$F_3 = \frac{9\pi}{2\sqrt{2}} (1 - b)^{-5/2}. \tag{18}$$

Максимальные и средние относительные погрешности приведенной аппроксимации не превышают  $\max(\epsilon) = 2$  и  $\langle \epsilon \rangle = 0.1\%$  соответственно. Выполненные по (17) расчеты совпадают с экспериментальными данными [13] и результатами расчетов других авторов [26, 27]. Во всем интервале значений b сила сопротивления может быть рассчитана по кусочно—непрерывной формуле

$$F = F_1, b \le 0.5; F_2, 0.5 \le b \le 0.7; F_3, b \ge 0.7.$$
 (19)

На рис. 2 приводится сравнение рассчитанных коэффициентов захвата  $\eta$  для рядов с b=0.1-0.6 (кривая I) со значениями  $\eta$ , вычисленными по (3) (кривая 3) и по формуле Натансона—Стечкиной [28] (кривая 2),

$$\eta_0 = 2.892k^{-1/3}Pe^{-2/3} + 0.624Pe^{-1}.$$
(20)

Рисунок 2 демонстрирует, что в плотных рядах волокон с b > 0.5 осаждение частиц заметно меньше, чем следует из расчетов по аналитическим формулам при всех значениях Pe, и что при больших Pe удовлетворительное согласие коэффици-

ентов захвата наблюдается для рядов с b < 0.3. Отметим хорошее согласие коэффициента захвата, найденного прямым моделированием, с коэффициентом захвата, вычисленным по (20), для ряда с b = 0.1 при небольшом значении числа Пекле (Pe = 10), когда величина поправки в (20) существенно влияет на  $\eta$ . Полученные результаты для двумерного поля течения в ряду сравним с данными для сеток.

#### Осаждение частии в отдельной сетке

Пример рассчитанного трехмерного поля течения вблизи поверхности волокон в сетке с b=1/3 показан на рис. 3. Здесь представлены линии тока в перпендикулярных плоскостях, прилегающих к плоскостям симметрии; видно, что большая часть волокон в каждом ряду обтекается почти плоскопараллельным потоком. Следовательно, функциональные зависимости осаждения частиц в сетке и в ряду от размера частиц и волокон при одинаковой скорости не должны существенно различаться.

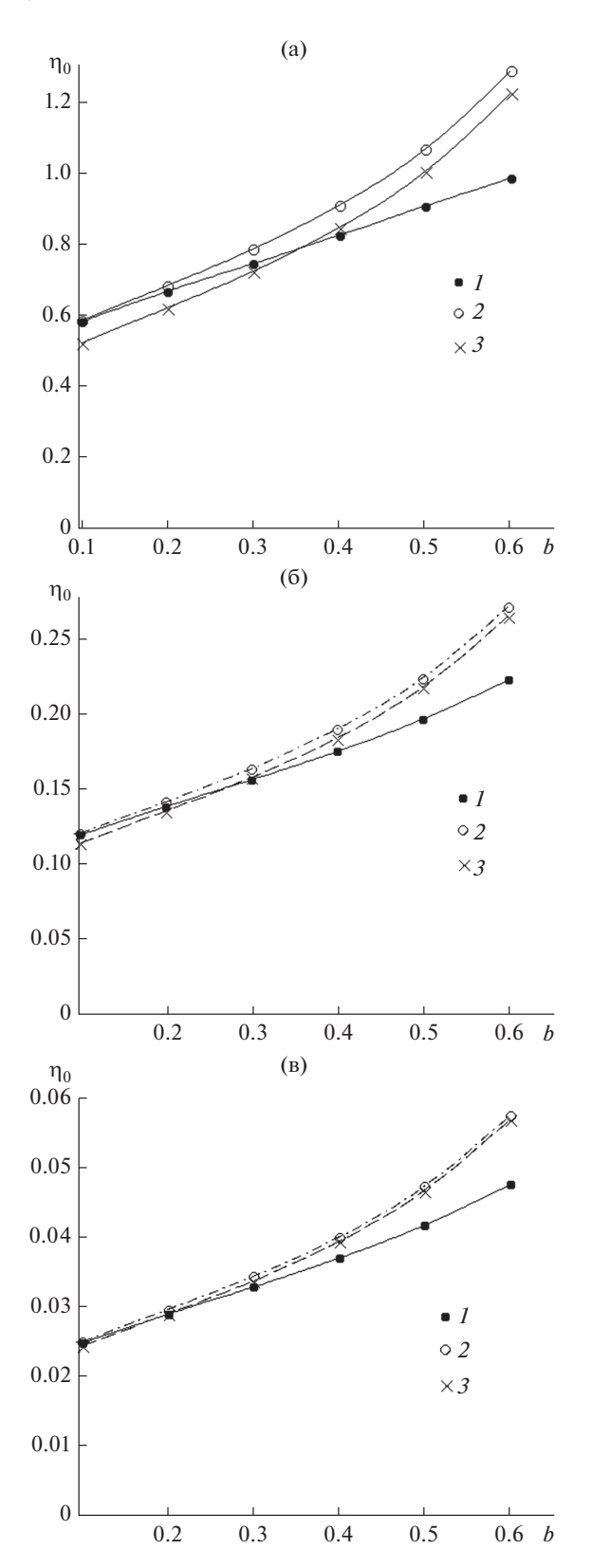
Результаты расчета сил сопротивления и проскока частиц через одну сетку с разными значениями b представлены в табл. 1. Они свидетельствуют о том, что силы сопротивления  $F_1$  и  $F_2$ , действующие на волокна в первом и втором ряду, равны и для всех значений b превышают силу в отдельном ряду  $F_0$ . В то же время полученные прямым моделированием средние коэффициенты захвата сетки  $\overline{\eta}_s$  при больших и промежуточных числах Пекле близки к значениям  $\eta_0$  для изолированного ряда волокон, рассчитанным по (3).

Однако формулу (3) нельзя использовать для расчета проскока через плотные сетки, так как силы сопротивления ряда и сетки заметно различаются. Отметим, также, что при Pe < 100 осаждение на первый слой волокон больше, чем на второй, что является следствием влияния диффузионного следа, причем коэффициент захвата первого слоя равен коэффициенту захвата, рассчитанному по (16).

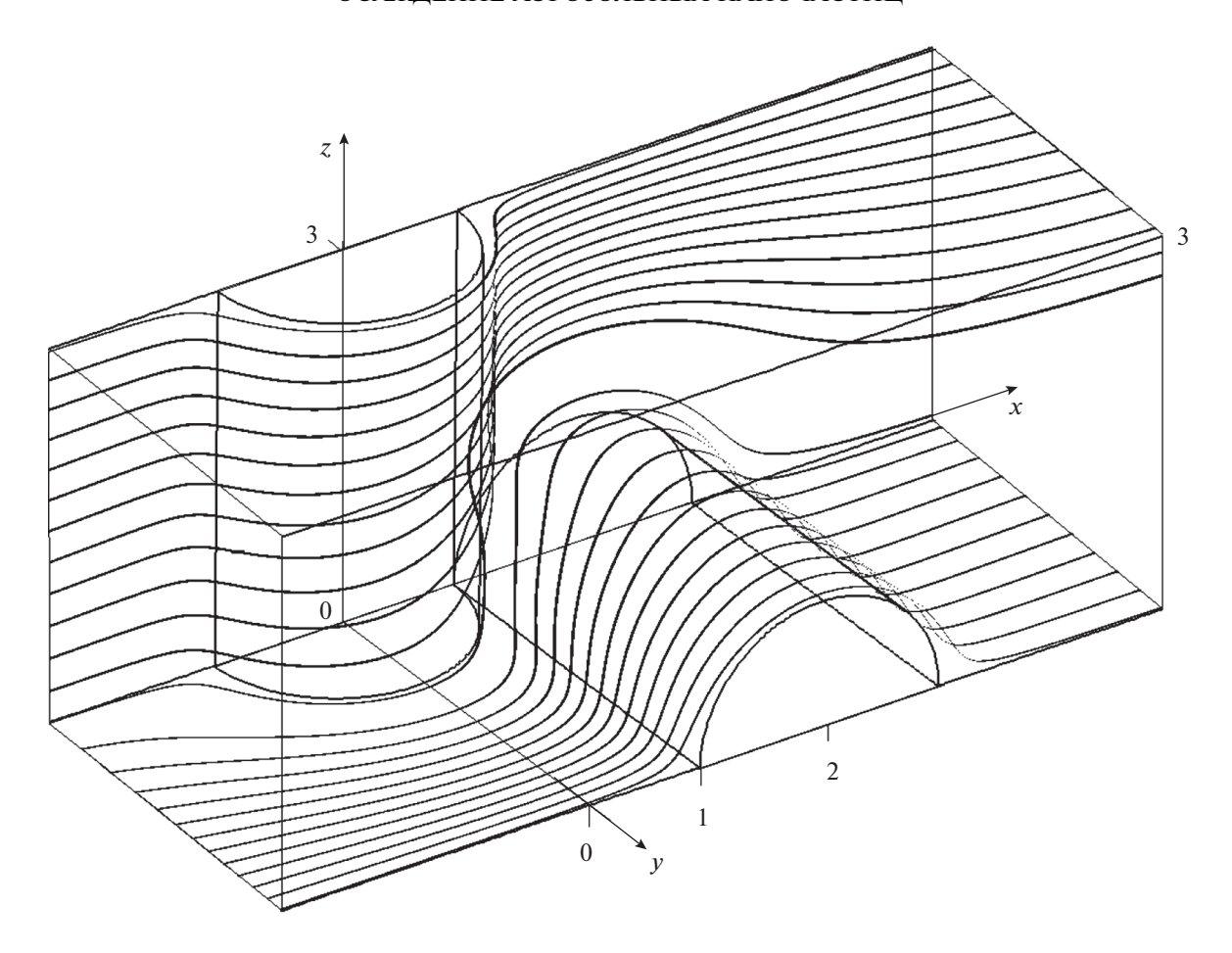
Из табл. 1 также следует, что рассчитанные средние коэффициенты захвата для плотных сеток удовлетворительно совпадают со значениями  $\eta_s$ , рассчитанными по эмпирической формуле (8) при плотности упаковки  $\alpha = \pi b/4$ . Для рыхлых сеток с большим шагом формула (8) неприменима.

### Проскок частиц через восемь последовательно установленных сеток

Учитывая, что в ДБ соседние сетки взаимно ориентированы под произвольными углами, мы также нарушили упорядоченность расположения сеток и уменьшили влияние диффузионного сле-



**Рис. 2.** Коэффициенты захвата волокном  $\eta_0$  в ряду волокон: I — результаты прямого численного моделирования, 2 — расчет по формуле Натансона с поправкой Стечкиной (20), 3 — расчет по формуле Натансона (3); Pe = 10 (a); 100 (6); 1000 (в).



**Рис. 3.** Линии тока вблизи перекрестия волокон при обтекании модельной сетки. Входные координаты:  $\{y=0.01, 0.5, 1, 1.5, 2, 2.5, 2.99, z=0.01\}$  и  $\{y=2.99, z=0.01 \dots 2.99\}$ ; b=1/3.

да от перекрестий волокон в соседних сетках. С этой целью четные сетки были сдвинуты относительно нечетных (в направлении потока по оси X) по осям z и y в своих плоскостях на величину h — половину расстояния между волокнами в ряду, как показано на рис. 1а и 1б. Расчеты показали, что входного эффекта в пакете сеток не было (сопротивление сеток при их сближении не увеличивалось), а разброс значений сил сопротивления, рассчитанных для каждого ряда в сетке, составлял менее одного процента.

В табл. 2 приведены результаты расчета проскоков наночастиц через сетки и коэффициентов захвата при трех значениях числа Пекле в зависимости от расстояния между соседними сетками,  $X=2+\delta$ , где  $\delta-$  зазор между сетками. Из этой таблицы следует, что осаждение в сетках практически не изменяется при их сближении, за исключением случая при Pe=10. При необходимости измерения D в этом диапазоне Pe между сетками можно устанавливать кольцевые прокладки.

# 4. ЗАКЛЮЧЕНИЕ

Из результатов расчетов следует, что, поскольку гидродинамическое сопротивление стоксову потоку при Re ≪ 1 рассмотренных модельных сеток и плетеных сеток, используемых в ДБ, практически совпадает [22], и коэффициенты захвата для плотных сеток и веерной модели также очень близки, то при вычислении коэффициента диффузии наночастиц по измеренным значениям проскока через ДБ из плотных сеток можно пользоваться эмпирической формулой (8) в широком диапазоне чисел Пекле, при Ре > 10, подставляя в число Пекле значение скорости невозмущенного течения U. Кроме того, при больших числах Пекле, Ре > 1000, коэффициент проскока можно оценить также по аналитической формуле для изолированного ряда (3), используя соответствующее значение силы, рассчитанное по (17). В последнем случае достаточно знать просвет сетки и диаметр проволочки, не проводя измерений истин-

**Таблица 1.** Результаты расчета безразмерных коэффициентов захвата  $\eta$  и сил сопротивления волокон F в одной сетке при разных значениях Ре;  $\overline{\eta}_s$  — расчет по (16),  $\eta_0$  — по (3),  $\eta_s$  — по (8); индекс 1 — первый по потоку ряд волокон, 2 — второй ряд

		$a/h = 0.5, F_1 =$	$65.343, F_2 = 65.$	$339, F_0 = 52.85$		
Pe	P	$\eta_1$	$\eta_2$	$\overline{\eta}_{\mathrm{s}}$	$\eta_0$	$\eta_{\rm s}$
10	0.34141	0.8366	0.4806	1.0747	1.0085	0.9579
100	0.8167	0.1934	0.1733	0.2025	0.2173	0.2064
1000	0.9571	0.0432	0.0426	0.0439	0.0468	0.0445
		$a/h = 0.4, F_1 =$	$= 39.503, F_2 = 39.$	$503, F_0 = 31.74$		
Pe	P	$\eta_1$	$\eta_1$ $\eta_2$		$\eta_0$	$\eta_{\rm s}$
10	0.4903	0.7571	0.5171	0.8909	0.8501	0.8467
100	0.8689	0.1714	0.1565 0.1757		0.1833	0.1827
1000	0.9699	0.0378	0.0374	0.0382	0.0395	0.0394
		$a/h = 1/3, F_1 = 2$	$28.7829, F_2 = 28.7$	$7844, F_0 = 23.202$		
Pe	P	$\eta_1$	$\eta_2$	$\overline{\eta}_{\mathrm{s}}$	$\eta_0$	$\eta_{s}$
10	0.5872	0.7102	0.5282	0.7986	0.7706	0.7879
100	0.8984	0.1586	0.1462	0.1607	0.1651	0.1697
1000	0.9769	0.0348	0.0344	0.0347	0.0356	0.0366
	•	$a/h = 0.2, F_1 =$	$15.034, F_2 = 15.0$	$34, F_0 = 12.603$		•
Pe	P	$\eta_1$	$\eta_2$	$\overline{\eta}_{\mathrm{s}}$	$\eta_0$	$\eta_{\rm s}$
10	0.7689	0.6256	0.5298	0.6569	0.6248	0.6688
100	0.9474	0.1359	0.1276	0.1354	0.1347	0.1480
1000	0.9884	0.0292	0.0288	0.0291	0.0290	0.0320
		$a/h = 0.1, F_1 =$	$= 8.4877, F_2 = 8.4$	$889, F_0 = 7.54$		
Pe	P	$\eta_1$	$\eta_2$	$\overline{\eta}_{\mathrm{s}}$	$\eta_0$	$\eta_{\rm s}$
10	0.8923	0.5614	0.5161	0.5700	0.5271	0.6313
100	0.9768	0.1180	0.1136	0.1171	0.1147	0.1360
1000	0.9950	0.02495	0.0247	0.0249	0.0245	0.0293

ной плотности упаковки в единице объема сеточной ДБ.

В заключение отметим, что сеточный диффузионный метод может быть использован и для определения коэффициента диффузии субмикронных частиц [14, 15]. Однако при учете собственного размера субмикронных частиц эффект скольжения газа на волокнах обычно не учитывается, поскольку число Кнудсена  $\mathrm{Kn} = \lambda/a$  для толстых волокон в сетках мало ( $\mathrm{Kn} \ll 1$ ). Но для таких волокон мал и параметр зацепления  $R = r_p/a \ll 1$ , и поэтому, сколь бы большим волокно не было, скольжение газа на волокне влияет на осаждение, так как поправка к коэффициенту захвата за счет

зацепления, учитывающая скольжение газа, равна (1 + Kn/R) [29, 13]. Не учитывая влияние скольжения газа на зацепление частиц и специфику диффузионного осаждения при малых Ре [19], авторы иногда предлагают свои подгоночные коэффициенты в отдельных членах в формуле для суммарного коэффициента захвата в веерной модели [30]. Отметим также необходимость учета полноты укрупнения наночастиц до и после ДБ в пересыщенных парах разных жидкостей. Вопрос о детектировании укрупненных наночастиц, доля которых зависит от их размера и концентрации, рассмотрен в [31].

b	δ	Pe = 10		Pe = 100		Pe = 1000	
		P	$\overline{\eta}_{\mathrm{s}}$	P	$\overline{\eta}_{\mathrm{s}}$	P	$\overline{\eta}_{s}$
1/2	8	$2.389 \times 10^{-4}$	1.0424	0.1734	0.2190	0.7056	0.0436
	2	$1.446 \times 10^{-4}$	1.1052	0.1688	0.2224	0.6960	0.0453
	0.1	$4.854 \times 10^{-5}$	1.2416	0.1833	0.2121	0.7173	0.0415
	1 сетка	0.34141	1.0747	0.8167	0.2025	0.9571	0.0439
1/3	8	0.0128	0.8172	0.4146	0.1651	0.8358	0.0336
	2	0.0101	0.8616	0.4214	0.1620	0.8327	0.0343
	1	0.00590	0.9624	0.4301	0.1582	0.8427	0.0321
	0.1	0.00547	0.9766	0.4325	0.1572	0.8308	0.0348
	1 сетка	0.5872	0.7986	0.8984	0 1607	0 9770	0.0347

**Таблица 2.** Средние коэффициенты захвата  $\overline{\eta}_s$  пакетом из восьми сеток (расчет по формуле 14) при разном безразмерном (в единицах a) расстоянии между сетками  $X = 2 + \delta$  (см. рис. 1)

### ФИНАНСИРОВАНИЕ РАБОТЫ

Работа выполнена при поддержке НИЦ "Курчатовский институт" (Приказ № 1807 от 14.08.2019 г.).

#### КОНФЛИКТ ИНТЕРЕСОВ

Авторы заявляют, что у них нет конфликта интересов.

### СПИСОК ЛИТЕРАТУРЫ

- Fuchs N.A. The Mechanics of Aerosols. New York: Pergamon Press, 1964.
- Fuchs N.A., Stechkina I.B., Starosselskii V.I. // Br. J. Appl. Phys. 1962. V. 13. P. 280.
- Lee K.W., Connick P.A., Gieseke J.A. // J. Aerosol Sci. 1981. V. 12. P. 385.
- 4. *Кирш А.А., Загнитько А.В., Чечуев П.В.* // Журн. физ. химии. 1981. Т. 55. С. 3034.
- Стечкина И.Б., Кирш А.А. // Коллоид. журн. 2013. Т. 75. С. 538.
- 6. *Кирш А.А., Фукс Н.А.* // Коллоид. журн. 1968. Т. 30. С. 836.
- 7. Натансон Г. JI. // Докл. АН СССР. 1957. Т. 112. С. 100.
- 8. *Фукс Н.А., Стечкина И.Б.* // Докл. АН СССР. 1962. T. 147. C. 1144.
- 9. Kuwabara S. // J. Phys. Soc. Jpn. 1959. V. 14. P. 527.
- 10. Miyagi T. // J. Phys. Soc. Jpn. 1958. V. 13. P. 493.
- 11. *Фукс Н.А., Сутугин А.Г.* // Высокодисперсные аэрозоли. Итоги науки. Серия "Физическая химия". М.: Изд-во ВИНИТИ, 1969.
- 12. *Kirsch A.A.*, *Stechkina I.B.* // Proc. 7th International Conference on Condensation and Ice Nuclei. Prague: Academia, 1969, P. 284.
- Kirsch A.A., Stechkina I.B. // Fundamentals of Aerosol Science / Ed. by Shaw D.T. New York: Wiley—Interscience, 1978. P. 165.

- 14. Cheng Y.S., Yeh H.C. // J. Aerosol Sci. 1980. V. 11. P. 313.
- Cheng Y.S., Yeh H.C., Brinsko K.J. // Aerosol Sci. Technol. 1985. V. 4. P. 165.
- Scheibel H.G., Porstendorfer J. // J. Aerosol Sci. 1984.
   V. 15. P. 673.
- 17. *Heim M., Mullins B.J., Wild M., Meyer J., Casper G. //* Aerosol Sci. Technol. 2005. V. 39. P. 782.
- Kirsch V.A., Kirsch A.A. // Aerosols Science and Technology / Ed. by Agranovski I. Weinheim: Wiley– VCH, 2010. P. 283.
- 19. Черняков А.Л., Кирш А.А., Ролдугин В.И., Стечкина И.Б. // Коллоид. журн. 2000. Т. 62. С. 547.
- Кирш В.А., Кирш А.А. // Коллоид. журн. 2010. Т. 72. С. 468.
- 21. *Purchas D.B.* // Handbook of Filter Media. Oxford: Elsevier Advanced Technology, 1996.
- 22. Кирш В.А. // Коллоид. журн. 2006. Т. 68. С. 17.
- Ландау Л.Д., Лифшиц И.М. Теоретическая физика.
   Т. 6. Гидродинамика. Издание 4-е, М.: Наука, 1988.
- 24. *Левич В.Г.* Физико-химическая гидродинамика. М.: ГИФМЛ, 1959.
- 25. Keller J.B. // J. Fluid Mech. 1964. V. 18. P. 94.
- Sangani A.S., Acrivos A. // Int. J. Multiphase Flow. 1982. V. 8. P. 193.
- 27. Wang C.Y. // Fluid Dynamics Res. 2001. V. 29. P. 65.
- 28. Стечкина И.Б. // Докл. АН СССР. 1966. Т. 167. С. 1327.
- 29. Натансон Г. JI. // Коллоид. журн. 1962. Т. 24. С. 52.
- Cena L.G., Ku B.K., Peters T. // Aerosol Sci. Technol. 2012. V. 46. P. 214.
- 31. *Кирш А.А., Хмелевский В.О., Будыка А.К., Кирш В.*А. // Теор. основы хим. технологии. 2011. Т. 55. С. 702.